



# БИООРГАНИЧЕСКАЯ ХИМИЯ

том 17 \* № 8 \* 1991

УДК 547.392.52.057 + 547.311 + 547.361.3

© 1991 г.

*П. М. Демин, Л. Л. Васильева\*, Г. Н. Мягкова,  
К. Г. Пивницкий\**

## СИНТЕТИЧЕСКОЕ ИССЛЕДОВАНИЕ ГЕПОКСИЛИНОВ

### 2. ГЕПОКСИЛИНЫ A<sub>3</sub>: СИНТЕЗ, КОНФИГУРАЦИЯ И СОСТАВ ПРОДУКТОВ ГИДРОЛИЗА — ТРИОКСИЛИНОВ A<sub>3</sub>

Московский институт тонкой химической технологии им. М. В. Ломоносова;  
\*Институт экспериментальной эндокринологии Всесоюзного эндокринологического  
научного центра АМН СССР, Москва

Гидролизом мезилатов C10-эпимеров HXB<sub>3</sub>, сопровождающимся аллильной перегруппировкой, синтезированы C8-эпимерные эфиры гепоксилинов (HX) A<sub>3</sub>. На основе независимо подтвержденной син-стереонаправленности сольволиза аллильных мезилатов более полярному на силикагеле эпимеру метилового эфира HXA<sub>3</sub> приписана 8R-, а менее полярному — 8S-конфигурация. Исследован состав продуктов гидролиза оксиранового цикла в HXA<sub>3</sub> — триоксилинов (TrX) A<sub>3</sub>. Показано образование двух наборов региоизомеров — (8,9,12)- и (8,11,12)-TrXA<sub>3</sub>, каждый из которых является смесью четырех стереоизомеров по C8 и C9/C11. Идентифицировано строение и конфигурация при C8 индивидуальных TrXA<sub>3</sub>.

Гепоксилины (HX) A<sub>3</sub> и B<sub>3</sub> — метаболиты арахидоновой кислоты, содержащие гидроксильную и 11,12-эпоксидную группировки [1] (см. схему 1), синтезируются *in vivo* в виде смеси эпимеров по карбинольному центру в результате изомеризации (12S)-гидропероксиэйказететраеновой кислоты [2, 3]. Интерес к гепоксилином обусловлен их биологическим действием — стимуляцией глюкозозависимого высвобождения инсулина из β-клеток поджелудочной железы [1, 4] и трансмембранных переноса ионов кальция [5, 6]. Биосинтез гепоксилинов отмечен в ряде органов и тканей млекопитающих, в частности в β-клетках [1, 4, 7], крови [8, 9] и мозге [10, 11].

Для гепоксилинов B<sub>3</sub> описаны два полных синтеза [12, 13]. Единственный синтез гепоксилинов A<sub>3</sub> [14] осуществлен независимым путем и не привел к установлению конфигурации карбинольного центра в эпимерах. Поскольку структуры гепоксилинов A<sub>3</sub> и B<sub>3</sub> различаются только

Таблица 1  
Хроматографическая подвижность эпимерных эфиров HXA<sub>3</sub> и HXB<sub>3</sub>

Соединение	ВЭЖХ *, время выхода, мин		ТСХ **, R <sub>f</sub> на силикагеле	
	син (а)	анти (б)	син (а)	анти (б)
Метиловые эфиры				
HXA <sub>3</sub> (Ia, б)	8,8	8,2	0,20	0,25
HXB <sub>3</sub> (Ia, б)	6,7	5,7	0,30	0,36
n-Бромфенациловые эфиры				
HXA <sub>3</sub> (IVa, б)	13,4	13,4	0,23	0,23
HXB <sub>3</sub> (IIIa, б)	10,3	9,9	0,26	0,26

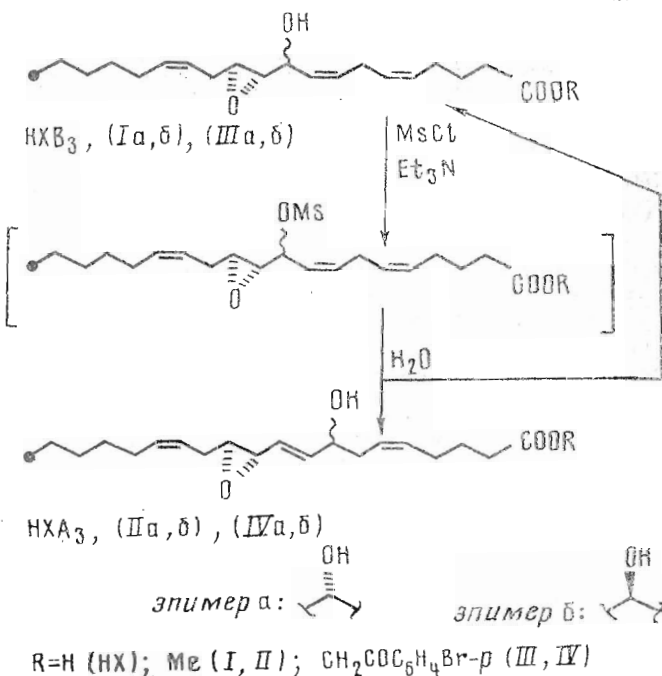
\* Система изопропанол — гексан, 2 : 98.

\*\* Для соединений (Ia, б, IIa, б) система бензол — эфир — Et<sub>3</sub>N, 85 : 15 : 0,1 (три проявления), а для соединений (IIIa, б, IVa, б) — этилацетат — гексан — Et<sub>3</sub>N, 10 : 40 : 0,1 (два проявления).

Сокращения: HX — гепоксилин, TrX — триоксилин, Ms — мезил.

региоизомерией группировки аллилового спирта, представляется возможным синтез гепоксилинов  $A_3$  аллильной перегруппировкой гепоксилинов  $B_3$ . В этом сообщении мы описываем реализацию такого подхода, доказываем конфигурацию карбинольного центра в полученных эпимерах гепоксилинов  $A_3$ , а также определяем строение продуктов их гидролиза — триоксилинов  $A_3$  [1, 2, 7].

Схема 1



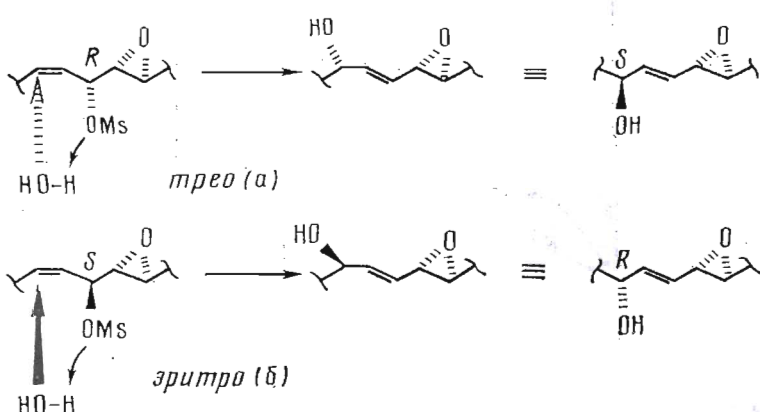
Мезилирование метиловых эфиров эпимерных  $HXB_3$  ( $Ia, b$ ) при  $-78^\circ\text{C}$  приводит к очень нестойким мезилатам, сольволизующимся уже в процессе выделения. Так, при обработке реакционной смеси водой образуется смесь эпимерных метиловых эфиров  $HXA_3$  ( $IIa, b$ ) с примесью исходных эфиров ( $Ia, b$ ). Последние также возникают в результате сольволиза, поскольку полнота мезилирования была подтверждена метанолизом реакционной смеси, приводившим только к смеси малополярных метиловых эфиров 8-О-метил- $HXA_3$  и 10-О-метил- $HXB_3$ . Индивидуальные эпимеры ( $IIa$ ) и ( $IIb$ ) выделены хроматографией с общим выходом 60% (хроматографические подвижности см. в табл. 1). *E*-Конфигурация образующейся 9,10-двойной связи соединений ( $IIa, b$ ) доказана величиной  $\text{KCCB}$  соответствующих олефиновых протонов (15,2 Гц) в спектрах ПМР. Подобной перегруппировкой мезилатов *n*-бромфенациловых эфиров  $HXB_3$  ( $IIIa, b$ ) получена смесь эпимеров хромофорных эфиров  $HXA_3$  ( $IVa, b$ ) с выходом 60%.

Соотношение образующихся эпимеров эфиров ( $IIa, b$ ) зависит от конфигурации исходных эфиров ( $Ia, b$ ). Из ( $10R$ )-эпимера ( $Ia$ ) эпимеры ( $IIa, b$ ) образуются в соотношении 1 : 1,6 соответственно, а при исходном ( $10S$ )-эпимере ( $Ib$ ) соотношение меняется на обратное (1,7 : 1). Это указывает на стереонаправленность аллильной перегруппировки, происходящей при сольволизе соответствующих мезилатов, т. е. на протекание процесса по механизму  $S_N2'$ .

Литературные данные [15] свидетельствуют о предпочтительности *cis*-стереохимии перегруппировки, протекающей по механизму  $S_N2'$ , при атаке нейтральными нуклеофилами. С учетом изменения конфигурации перемещающейся двойной связи можно заключить, что перегруппировка эфиров ( $10R$ )- $HXB_3$  ( $Ia$ ), ( $IIIa$ ) приводит предпочтительно к эфирам ( $8S$ )- $HXA_3$  ( $IIb$ ), ( $IVb$ ); аналогичный вывод следует и для второй пары

эпимеров (схема 2). Одновременно с нашей краткой публикацией [16] этого результата появилось сообщение об установлении конфигурации  $\text{HXA}_3$  другим способом [17]. Отнесения конфигураций совпадают.

Схема 2



В отличие от эпимерных  $\text{HXB}_3$  [13] эпимеры  $\text{HXA}_3$  весьма мало отличаются по физико-химическим свойствам. Так, спектры ПМР метиловых эфиров эпимеров (IIa) и (IIb) различаются только небольшим несовпадением величин химических сдвигов сигналов протонов при C8 ( $\Delta\delta$  0,006 м. д.). Однако эти эпимеры легко различимы хроматографически (см. табл. 1), причем син- или (8R)-эпимер (IIa) более полярен на силикагеле. Для эпимеров *n*-бромфенациловых эфиров  $\text{HXA}_3$  (IVa, б) хроматографических различий не найдено.

Как известно, гидролиз лабильного эпоксидного цикла в  $\text{HXA}_3$  начинается уже при pH 4 [7]. В случае эндогенных  $\text{HXA}_3$  этот процесс наблюдался также *in vivo*, причем мог протекать как энзиматическим [18, 19], так и, по-видимому, химическим путем [2, 3]. Продукты гидролиза  $\text{HXA}_3$ , имеющие общую структуру тригидроксиэйкозатриеновых кислот, получили эмпирическое название «триоксилины» (TrX)  $\text{A}_3$  [1]. Имеющиеся сведения о составе и структуре Tr $\text{XA}_3$  весьма неполны и подчас противоречивы, что обусловлено трудностями даже аналитического разделения [8, 10]. При химическом гидролизе  $\text{HXA}_3$  (смесь двух эпимеров) наблюдалось до восьми изомеров Tr $\text{XA}_3$ , по четыре изомера из каждого эпимера  $\text{HXA}_3$  [4, 7]. Теоретически это возможно только при одновременном образовании как 8,11,12-трисгидроксилированных (8,11,12)-Tr $\text{XA}_3$  (V), так и 8,9,12-трисгидроксилированных (8,9,12)-Tr $\text{XA}_3$  (VI), причем каждый из этих типов триоксилинов должен образовываться в четырех стереоизомерных формах (схема 3).

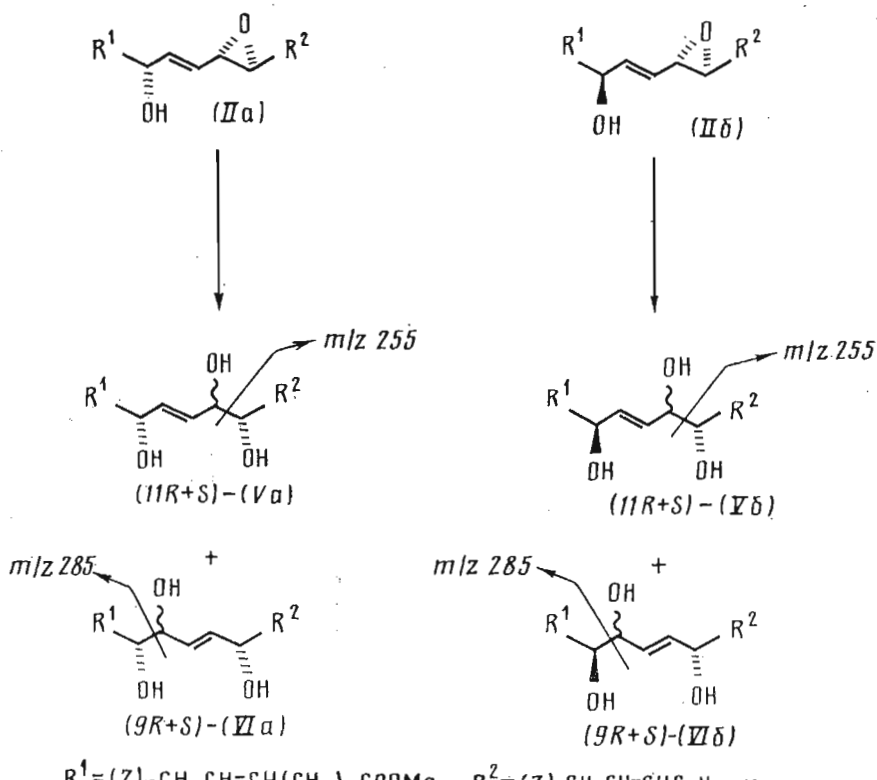
Таблица 2  
Регио- и стереоизомерные триоксилины  $\text{A}_3$

Исходный эфир $\text{HXA}_3$	Эфир Tr $\text{XA}_3$	ГЖХ *, время выхода, мин (номер пика рис. 1)	ТСХ **, $R_f$ на силикагеле
(IIa)	(11R + S)-(Va)	18,8 (2) и 23,2 (8)	0,17 и 0,21
	(9R + S)-(Viа)	18,3 (1) и 22,6 (7)	0,17 и 0,21
(IIb)	(11R + S)-(Vb)	20,0 (4) и 22,6 (6)	0,24 и 0,15
	(9R + S)-(Viб)	19,5 (3) и 22,2 (5)	0,24 и 0,15

\* Трис-Би<sup>7</sup>Me<sub>2</sub>Si-эфиры; условия см. «Экспер. часть».

\*\* Система — бензол — эфир, 1 : 2 (три проявления).

Схема 3



Оба указанных типа  $\text{TrXA}_3$  (V) и (VI) были идентифицированы еще в конце 70-х годов как продукты метаболизма арахидоновой кислоты в тромбоцитах человека и животных [20, 21]. Однако в последние годы триоксилины  $A_3$  (и  $A_4$ , полученные из соответствующей эйказапентаеноевой кислоты [22]) описываются в основном как 8,11,12-изомеры (V) [2, 3, 8, 10, 22], и в то же время для биологического изучения проводится химический синтез 8,9,12-изомеров  $\text{TrXA}_3$  (VI) [23]. Сведения о стереохимии  $\text{TrXA}_3$  ограничиваются обнаружением включения атома  $^{16}\text{O}$  только при C11 в процессе энзиматического гидролиза  $[^{18}\text{O}_2]\text{HXA}_3$ ; таким образом подтверждается сохранение конфигурации при C8 и C12 [2, 3].

Для выяснения строения и конфигурации  $\text{TrXA}_3$  мы изучили состав продуктов гидролиза метиловых эфиров  $\text{HXA}_3$  (IIa, б). Гидролиз смеси эпимеров (1 : 1) при pH 3—3,5 приводит к сложной смеси изомеров метиловых эфиров  $\text{TrXA}_3$  (V), (VI). Полное разделение всех восьми полученных изомеров достигается капиллярной ГЖХ на полярной фазе SP-1000 трис-*трем*-бутилдиметилсилиловых эфиров и использованием масс-фрагментографии (см. рис. 1). Идентификация 8R- и 8S-изомеров  $\text{TrXA}_3$  достигнута сохроматографией с продуктами гидролиза индивидуальных 8-эпимеров (IIa) и (IIб), каждый из которых приводит к смеси только четырех изомеров. Частичное разделение восьмикомпонентной смеси микропрепартивной ТСХ с последующей ГЖХ фракций позволило определить хроматографические подвижности индивидуальных компонент  $\text{TrXA}_3$  (табл. 2).

Строение  $\text{TrXA}_3$ , составляющих региоизомерные пары, установлено по данным масс-спектров. В обоих типах структур при электронном ударе доминирует  $\alpha$ -распад между углеродными атомами *ω*-диольной группировки, приводящий для указанных производных (V) и (VI) к ионам с  $m/z$  255/455 и 285/425 соответственно. Поэтому на масс-фрагментограмме по  $m/z$  255 (см. рис. 1) проявляются только 8,11,12-изомеры типа (V) с почти идентичными масс-спектрами, один из которых представлен на рис. 2.

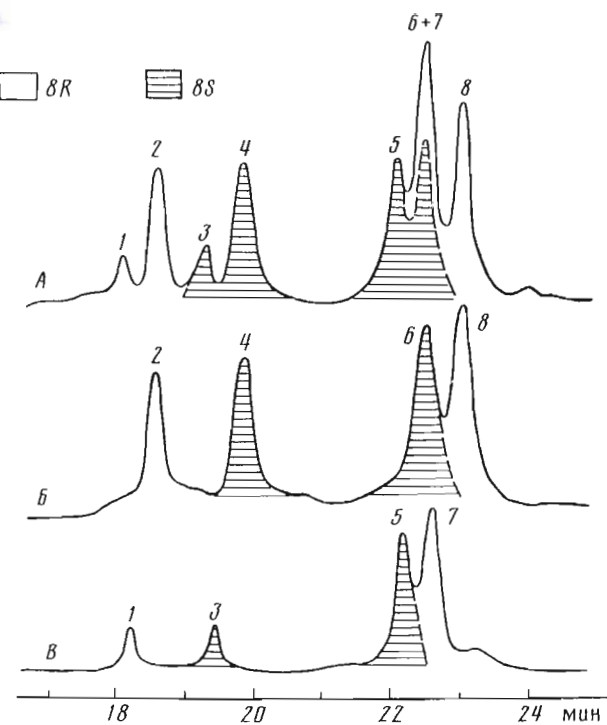


Рис. 1. Хроматографическое разделение изомерных  $\text{TrXA}_3$  (производные — трис-*трет*-бутилдиметилсилиловые эфиры метиловых эфиров, капиллярная колонка  $0,3 \text{ мм} \times 25 \text{ м}$ , фаза — SP-1000,  $225^\circ \text{ С}$ ). А — хроматограмма по полному ионному току смеси 11-эпимеров триоксилинов (Va, б, VIa, б), полученной гидролизом смеси (1 : 1) 8-эпимерных  $\text{HXA}_3$  (IIa, б); Б — масс-фрагментограмма той же смеси по  $m/z$  255; В — масс-фрагментограмма по  $m/z$  285

Аналогично идентифицированы 8,9,12-изомеры типа (VI). Некоторые из приведенных в литературе масс-спектров производных  $\text{TrXA}_3$  [24], по всей видимости, являются спектрами смесей этих региоизомеров.

Протекание гидролиза в условиях кислотного катализа исключительно по аллильной С11—О-связи доказано проведением реакции в метаноле, что привело к неразделенной смеси изомерных метиловых эфиров 9/11-О-метил- $\text{TrXA}_3$ . Наличие свободных гидроксильных групп при С8 и С12 в образующихся продуктах доказано сохранением в масс-спектре смеси бис-*трет*-бутилдиметилсилиловых эфиров доминирующих пиков ионов С1—С8- и С12—С20-фрагментов с неизмененными  $m/z$  285 и 255 соответственно.

Приведенные данные позволяют установить строение и стереохимию изомерных  $\text{TrXA}_3$ , за исключением конфигурации при С9/С11 (для затрагиваемой в процессе гидролиза центральной двойной связи принимается *E*-конфигурация в соответствии с многократными наблюдениями аналогичных аллильных перегруппировок [25]). Из рис. 1 можно видеть, что при гидролизе обоих эпимеров эфира  $\text{HXA}_3$  (IIa, б) образуются эфиры как (8,11,12)- $\text{TrXA}_3$  (Va, б), так и изомерных (8,9,12)- $\text{TrXA}_3$  (VIa, б) в постоянном соотношении 1,7 : 1. При этом возникают оба эпимера по новой С—О-связи при С9/11 в примерно равных количествах. Полученные сведения о химической трансформации  $\text{HXA}_3$  в  $\text{TrXA}_3$  существенны для решения дальнейшей проблемы — соотношения химического и энзиматического путей образования эндогенных триоксилинов.

#### Экспериментальная часть

Спектры ПМР регистрировали на спектрометре (Bruker MSL-200, ФРГ) в  $\text{C}_6\text{D}_6$  при 200 МГц, внутренний стандарт —  $\text{Me}_4\text{Si}$ . Масс-спектры (электронный удар, энергия электронов 22,5 эВ) и масс-фрагментограммы

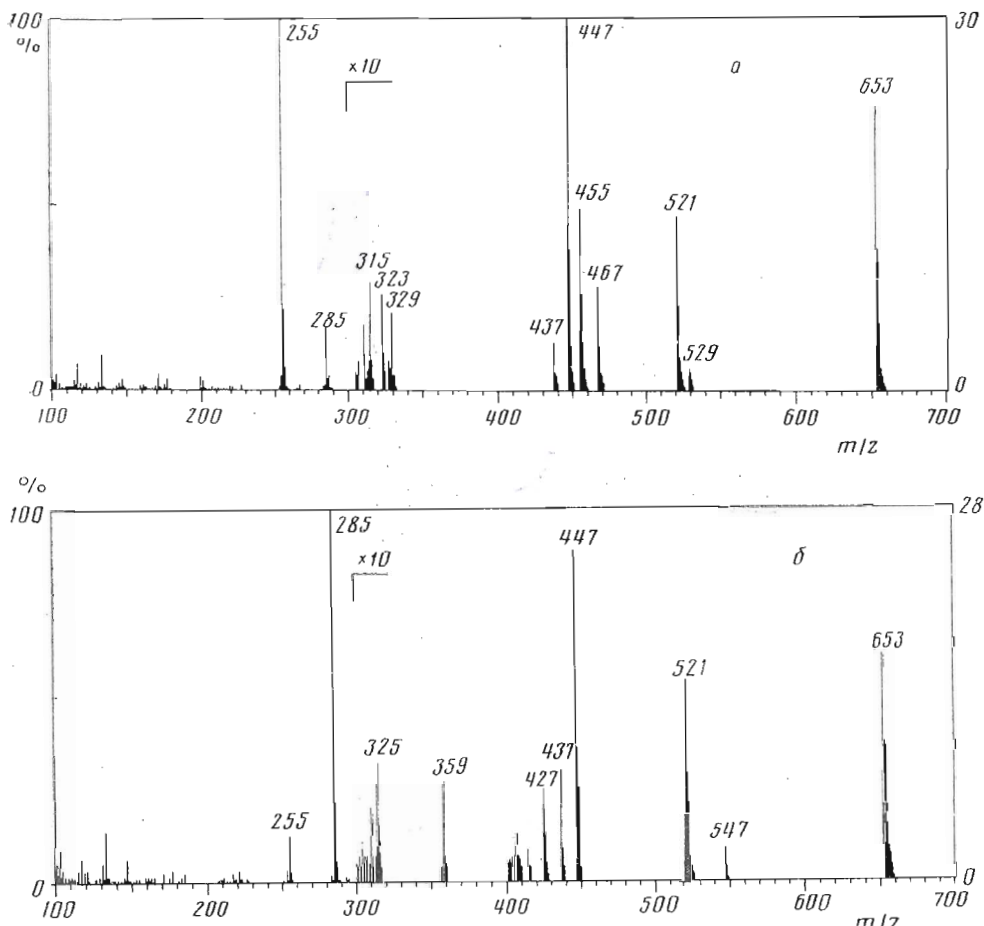


Рис. 2. Масс-спектры электронного удара (22,5 эВ) регионарных ТгХА<sub>3</sub> (в виде трис-*трет*-бутилдиметилсилиловых эфиров метиловых эфиров): а — 8,11,12-изомер (Va), пик 8 на рис. 1; б — 8,9,12-изомер (VIb), пик 5 на рис. 1

снимали на хроматомасс-спектрометре (LKB 2091, Швеция) с применением стеклянной капиллярной колонки (0,3 мм × 25 м) с фазой SP-1000 при 225° С, газ-носитель — гелий (34 см/с). *трет*-Бутилдиметилсилиловые эфиры получали обработкой образца (0,1—0,2 мг) раствором CF<sub>3</sub>·SO<sub>3</sub>SiMe<sub>2</sub>Bu<sup>t</sup> (50 мкл) и Et<sub>3</sub>N (200 мкл) в 1 мл бензола (20° С, 10 мин), а *n*-бромфенациловые эфиры — по методу [26]. Качественный анализ смесей проводили ТСХ на пластинках Whatman MK6F (США), вещества обнаруживали опрыскиванием раствором фосфорномолибденовой кислоты. Для ВЭЖХ использовали хроматограф «Милихром 1А» (СССР) с колонкой 2 × 64 мм. Сорбент — Silasorb 600 (5 мкм). Скорость элюента 100 мкл/мин. УФ-детектор при 210 нм для соединений (I) и (II) и при 260 нм для соединений (III) и (IV). Препаративное разделение проводили на пластинках Kieselgel 60 (Merck, ФРГ) размером 200 × 200 мм с толщиной слоя силикагеля 0,25 мм; элюент — бензол — эфир — Et<sub>3</sub>N, 85 : 15 : 0,1; три проявления; зоны обнаруживали опрыскиванием дистилированной водой.

Растворители очищали перегонкой над соответствующими осушителями (бензол — натрий, метиленхлорид — гидрид кальция). Использованы реагенты: метансульфонилхлорид, *n*-бромфенацилбромид (оба — Fluka, Швейцария), 5 % палладий на угле, *трет*-бутилдиметилсилилтрифторметансульфонат (оба — Aldrich, США).

Стандартную обработку реакционной смеси проводили экстракцией этилацетатом, промывкой экстрактов насыщенным водным раствором NaHCO<sub>3</sub>, высушиванием безводным Na<sub>2</sub>SO<sub>4</sub>, упариванием при температуре до 40° С и высушиванием остатка в вакууме 1,3 ГПа при 20° С.

Все использованные и синтезированные в работе вещества представляли собой рацематы.

*Метиловые эфиры (8RS,11SR,12SR,5Z,9E,14Z)- и (8SR,11SR,12SR,5Z,9E,14Z)-8-гидрокси-11,12-эпоксийкоза-5,9,14-триеновых кислот (гептексилиновое A<sub>3</sub>) (IIa, б).* К раствору 15 мг (42 мкмоль) метилового эфира HXB<sub>3</sub> (Ia), (Ib) [13] или их смеси в 1,5 мл метиленхлорида добавляли 3 мг тонкорастертых молекулярных сит 3 Å, смесь охлаждали до -78° С, а затем последовательно прибавляли 17 мг (168 мкмоль) Et<sub>3</sub>N в 240 мкл метиленхлорида и 12 мг (105 мкмоль) MsCl в 80 мкл метиленхлорида. Реакционную массу перемешивали 15 мин при -78° С и при этой же температуре добавляли насыщенный водный раствор NaHCO<sub>3</sub>. После нагревания до 20° С смесь обрабатывали стандартным образом и препаративной ТСХ выделяли индивидуальные эпимеры метиловых эфиров HXA<sub>3</sub> (IIa) и (IIb) с общим выходом 9 мг (60%). Соотношение выделяемых эпимеров определяется выбором исходных эфиров HXB<sub>3</sub> (Ia, б) (см. теорет. часть). Хроматографические подвижности см. в табл. 1. Спектр ПМР ( $\delta$ , м. д.) (любой эпимер): 0,88 (т,  $J$  6 Гц, 20-H<sub>3</sub>), 1,28 (м, 17-H<sub>2</sub> + 18-H<sub>2</sub> + 19-H<sub>2</sub>), 1,54 (м, 3-H<sub>2</sub>), 1,92 (м, 4-H<sub>2</sub> + 16-H<sub>2</sub>), 2,08 (т,  $J$  7,3 Гц, 2-H<sub>2</sub>), 2,22—2,34 (м, 7-H<sub>2</sub> + 13-H<sub>2</sub>), 2,72 (дт,  $J$  5,4 и 2,0 Гц, 12-H), 3,02 (дд,  $J$  2,0 и 7,7 Гц, 11-H), 3,32 (с, OMe), 3,92 (дт,  $J$  5,4 и 7,0 Гц, 8-H), 5,36—5,48 (м, 5Н, олефиновые Н), 5,78 (дд,  $J$  5,4 и 15,2 Гц, 9-H). Масс-спектр, прямой ввод в ионный источник при 110° С,  $m/z$  ( $I$ , %): 350 ([M]<sup>+</sup>, 0,5), 319 ([M — OMe]<sup>+</sup>, 0,8), 301 ([M — OMe-H<sub>2</sub>O]<sup>+</sup>, 3,1), 209 ([C8—C20]<sup>+</sup>, 26), 191 ([209—H<sub>2</sub>O<sup>+</sup>], 44), 171 ([C1—C8]<sup>+</sup>, 21), 142 ([C1—C7 + H]<sup>+</sup>, 67), 110 ([142—MeOH]<sup>+</sup>, 100).

*n-Бромфенациловые эфиры HXA<sub>3</sub> (IVa, б).* n-Бромфенациловые эфиры HXB<sub>3</sub> (IIIa, б) обработаны как описано выше и смесь продуктов проанализирована методом ВЭЖХ (см. табл. 1). Выход неразделимой смеси эфиров (IVa, б), идентифицированной сравнением с заведомыми образцами, полученными по методу [24] из эфиров (IIa, б), 60%. Остальные продукты являются смесью эфиров (IIIa, б).

*Метиловые эфиры стереоизомеров (5Z,9E,14Z)-8,11,12-тригидрокси-5,9,14-эйкозатриеновых и (5Z,10E,14Z)-8,9,12-тригидрокси-5,10,14-эйкозатриеновых кислот (TrXA<sub>3</sub>) (Va, б, VIIa, б).* 1 мг индивидуального эпимера метилового эфира HXA<sub>3</sub> (IIa или IIb) или их смеси выдерживали в 20 мл 0,005% раствора H<sub>3</sub>PO<sub>4</sub> в смеси тетрагидрофуран — вода (5 : 200) 48 ч при 20° С, отгоняли тетрагидрофуран в вакууме и после стандартной обработки получали смесь метиловых эфиров изомерных TrXA<sub>3</sub> (Va, б, VIIa, б), которые анализировали хроматографически (см. табл. 2 и рис. 1). Масс-спектры трис-*трем-бутилдиметилсилиловых* эфиров ( $I$ , %, последовательно для указанных стереоизомеров): (Va, б) пики 2, 4 и 8 (см. рис. 1 и 2a) [M]<sup>+</sup> отсутствует, 653 ([M — Bu]<sup>+</sup>, 6,2; 3,6; 7,7), 521 ([M — Bu—BuMe<sub>2</sub>SiOH]<sup>+</sup>, 2,9; 2,6; 4,7), 455 ([C1—C11]<sup>+</sup>, 4,6; 5,0; 4,9), 323 ([455—Bu·Me<sub>2</sub>SiOH]<sup>+</sup>, 1,9; 2,3; 2,6), 285 ([C1—C8]<sup>+</sup>, 13, 10, 17), 255 ([C12—C20]<sup>+</sup>, 100, 100, 100); (VIIa, б) пики 1, 3 и 5 (рис. 1 и 2б): [M]<sup>+</sup> отсутствует, 653 ([M — Bu]<sup>+</sup>, 5,6; 6,0; 6,1), 521 ([M — Bu—BuMe<sub>2</sub>SiOH]<sup>+</sup>, 3,3; 1,2; 5,4), 425 ([C9—C20]<sup>+</sup>, 2,2, —2,5), 293 ([425—BuMe<sub>2</sub>SiOH]<sup>+</sup>, 4,4, —, 1,4), 285 ([C1—C8]<sup>+</sup>, 100, 100, 100), 255 ([C12—C20]<sup>+</sup>, 36, 47, 13). Интерпретация подтверждена смещением соответствующих ионов до значений  $m/z$  659, 527, 459, 429, 327, 297, 287 и 257 в спектре образца после исчерпывающего гидрирования трис-Bu<sup>t</sup>Me<sub>2</sub>Si-производного в гексане (5% Pd/C, 20° С, 30 мин).

*Метиловые эфиры стереоизомерных (5Z,9E,14Z)-11-метокси-8,12-дигидроксийкоза-5,9,14-триеновых и (5Z,10E,14Z)-9-метокси-8,12-дигидроксийкоза-5,10,14-триеновых кислот.* К раствору 0,1 мг смеси эпимерных метиловых эфиров HXA<sub>3</sub> (IIa, б) в 0,5 мл метанола прибавляли 0,02 мл 0,5% водного раствора серной кислоты, выдерживали 5 ч при 20° С, добавляли 10 мл воды и после стандартной обработки полученную смесь анализировали в виде бис-*трем-бутилдиметилсилиловых* эфиров хроматомасс-спектрометрически. Группа неразрешенных пиков с временем удержания 17,0—17,3 мин. Масс-спектр,  $m/z$  ( $I$ , %): [M]<sup>+</sup> отсутствует, 595

([M—Me]<sup>+</sup>, 2,8), 553 ([M—Bu]<sup>+</sup>, 15), 521 ([M—Bu—MeOH]<sup>+</sup>, 1), 499 (1,4), 469 (3), 447 (20), 437 (2,5), 421 ([M—Bu—BuMe<sub>2</sub>SiOH]<sup>+</sup>, 18), 367 (4), 355 ([C1—C11]<sup>+</sup>, 1,5), 337 (3), 325 ([C9—C20]<sup>+</sup>, 1,3), 315 (5), 301 (2,5), 285 ([C1—C8]<sup>+</sup>, 76), 255 ([C12—C20]<sup>+</sup>, 100), 229 (19).

Авторы выражают признательность МНТК «Биоген» за финансовую поддержку этой работы (грант 1—90).

#### СПИСОК ЛИТЕРАТУРЫ

- Pace-Asciak C. R., Martin J. M. // Prostaglandins, Leukotrienes and Med. 1984. V. 16. № 2. P. 173—180.
- Pace-Asciak C. R., Granström E., Samuelsson B. // J. Biol. Chem. 1983. V. 258. № 11. P. 6835—6840.
- Pace-Asciak C. R. // J. Biol. Chem. 1984. V. 259. № 13. P. 8332—8337.
- Pace-Asciak C. R., Martin J. M., Corey E. J. // Progr. Lipid Res. 1986. V. 25. P. 625—628.
- Derewiany L. O., Pace-Asciak C. R., Radde I. C. // Can. J. Physiol. and Pharmacol. 1984. V. 62. № 12. P. 1466—1469.
- Dho S., Grinstein S., Corey E. J., Su W.-G., Pace-Asciak C. R. // Biochem. J. 1990. V. 266. № 1. P. 63—68.
- Pace-Asciak C. R., Martin J. M., Corey E. J., Su W.-G. // Biochem. and Biophys. Res. Commun. 1985. V. 128. № 2. P. 942—946.
- Pace-Asciak C. R., Lee S. P., Martin J. M. // Biochem. and Biophys. Res. Commun. 1987. V. 147. № 3. P. 881—884.
- Pace-Asciak C. R., Martin J. M., Lee S. P. // Biochem. Cell Biol. 1988. V. 66. № 8. P. 901—909.
- Pace-Asciak C. R. // Biochem. and Biophys. Res. Commun. 1988. V. 151. № 1. P. 493—498.
- Pace-Asciak C. R., Asotra S., Pellerin L., Wolfe L. S., Corey E. J., Wu P., Gurevich N., Carlen P. L. // Adv. Prostagl. Thromb. Res. 1989. V. 19. P. 141—146.
- Corey E. J., Kang J., Laguzza B. C., Jones R. L. // Tetrahedron Lett. 1983. V. 24. № 45. P. 4913—4916.
- Демин П. М., Васильева Л. Л., Лапицкая М. А., Белослудцев Ю. Ю., Мягкова Г. И., Пионицкий К. К. // Биоорган. химия. 1990. Т. 16. № 8. С. 1125—1133.
- Corey E. J., Su W.-G. // Tetrahedron Lett. 1984. V. 25. № 45. P. 5119—5122.
- Magid R. M. // Tetrahedron. 1980. V. 36. № 13. P. 1901—1930.
- Демин П. М., Васильева Л. Л., Белослудцев Ю. Ю., Мягкова Г. И., Пионицкий К. К. // Биоорган. химия. 1990. Т. 16. № 4. С. 571—572.
- Corey E. J., Su W.-G. // Tetrahedron Lett. 1990. V. 31. № 11. P. 2113—2116.
- Pace-Asciak C. R., Klein J., Spielberg S. P. // Biochim. et biophys. acta. 1986. V. 875. № 2. P. 406—409.
- Pace-Asciak C. R., Lee W.-S. // J. Biol. Chem. 1989. V. 264. № 16. P. 9310—9313.
- Jones R. L., Kerr P. J., Poyser N. L., Walker I. C., Wilson N. H. // Prostaglandins. 1978. V. 16. № 3. P. 583—589.
- Bryant R. W., Bailey J. M. // Prostaglandins. 1979. V. 17. № 1. P. 9—18.
- Pace-Asciak C. R. // Prostaglandins, Leukotrienes and Med. 1986. V. 22. № 1. P. 1—9.
- Yadagiri P., Shin D.-S., Falck J. R. // Tetrahedron Lett. 1988. V. 29. № 43. P. 5497—5500.
- Pace-Asciak C. R. // Adv. Prostagl. Thromb. Leukotr. Res. 1989. V. 18. P. 128.
- Gardner H. W., Nelson E. C., Tjarks L. W., England R. E. // Chem. and Phys. Lipids. 1984. V. 35. № 2. P. 87—101.
- Durst D., Milano M., Kikta E. J., Connelly S. A., Grushka E. // Anal. Chem. 1975. V. 47. № 11. P. 1797—1801.

Поступила в редакцию  
14.XII.1990

P. M. DEMIN, L. L. VASIL'eva\*, G. I. MYAGKOVA, K. K. PIVNITSKY \*

#### SYNTHETIC RESEARCH OF HEPOXILINS. 2. HEPOXILINS A<sub>3</sub>:

#### SYNTHESIS, CONFIGURATION AND COMPOSITION OF THE HYDROLYSIS PRODUCTS — TRIOXILINS A<sub>3</sub>

M. V. Lomonosov Institute of Fine Chemical Technology, Moscow;

\*Institute of Experimental Endocrinology, All-Union Endocrinology Research Centre,  
Academy of Medical Sciences of the USSR, Moscow

A synthesis of C8-epimeric hepxoxilins (HX) A<sub>3</sub> esters was carried out by the allylic rearrangement of C10-epimeric HXB<sub>3</sub> esters in the course of their mesylates hydrolysis. (8R)- and (8S)-configuration are assigned to the more and less polar epimers of HXA<sub>3</sub> methyl esters, respectively, on the basis of the independently confirmed *syn*-stereoselectivity of the allylic mesylate solvolysis. The composition of the HXA<sub>3</sub> oxirane cycle hydrolysis products, trioxilins (TrX) A<sub>3</sub>, was investigated. The formation of two sets of regioisomers, viz., (8,9,12)- and (8,11,12)-TrXA<sub>3</sub>, was demonstrated, each one being a mixture of four compounds stereoisomeric at C8 and C9/C11. Structures and configurations at C8 of the individual TrXA<sub>3</sub> are identified.